

для ориентировочных оценок можно применить формулы (8), где вместо числа  $r$  следует использовать число  $m$  возможных альтернатив.

На рисунке приведена полученная с помощью указанной методики зависимость (от числа  $p$  «слоев стационарности») выигрыша  $\Delta q$  в пороговом отношении С/Ш по сравнению со случаем  $p = 1$  при  $P_{\text{пр}} = 0,9$ ;  $\alpha = 10^{-2}$  и  $10^{-3}$ ;  $n = 15$ ;  $r = 128$ . Число  $m = r$  при  $p = 1$ ; при  $p > 1$  это число определялось соотношением  $m \sim r^{3^{p-1}}$ , которое примерно характеризует возможное количество траекторий при условии, что сигнал может либо сохранить свое частотное местоположение, либо сместиться в соседний (справа или слева) интервал в каждом очередном «слое стационарности».

На рисунке показано существенное увеличение эффективности обнаружения при использовании «траекторного анализа». Несмотря на резкое увеличение числа  $m$  возможных траекторий с увеличением их «длины» (т. е. числа  $p$ ), результирующая эффективность решения быстро возрастает с ростом  $p$ .

В заключение отметим, что алгоритм обнаружения «сигнальных траекторий» может быть получен и при других моделях распределения исходных данных, а также в случае предварительного бинарного квантования данных, формирующего «единицы» и «нули» в каждой анализируемой паре частотного (пространственного и т. п.) диапазона каждого слоя стационарности. Такое предварительное квантование может существенно облегчить практическую реализацию решающего алгоритма, а также получение решения непараметрической задачи — при неизвестных распределениях исходных данных.

#### ЛИТЕРАТУРА

- Леман Э. Проверка статистических гипотез.— М.: Наука, 1964.
- Гаек Я., Шидак З. Теория ранговых критериев.— М.: Наука, 1971.
- Горохов В. Л., Прокофьев В. П. Устойчивые алгоритмы обнаружения сигналов для систем первичной обработки данных больших телескопов // Автометрия.— 1982.— № 6.
- Большев Л. Н., Смирнов И. В. Таблицы математической статистики.— М.: Наука, 1983.

*Поступила в редакцию 25 февраля 1985 г.*

УДК 621.397.2 : 519.685

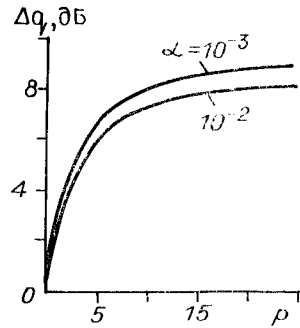
И. М. БОКШТЕЙН

(Москва)

#### ИСПОЛЬЗОВАНИЕ МЕТОДА ПРЕОБРАЗОВАНИЯ КОМПОНЕНТ ДЛЯ СОКРАЩЕНИЯ ИЗБЫТОЧНОСТИ ЦВЕТНЫХ ИЗОБРАЖЕНИЙ

Преобразование компонент с интерполяцией по отсчетам [1] представляет собой эффективный метод сжатия описаний многоградационных изображений с целью их передачи по узкополосному каналу связи или хранения в ЗУ малого объема. Применение этого метода позволяет снизить затраты на хранение или передачу таких изображений до 1,5 бит/отсчет при высоком визуальном качестве и малой среднеквадратичной погрешности восстановления.

Процедура кодирования и восстановления полуточкового изображения методом преобразования компонент с интерполяцией по отсчетам подробно описана в [1, 8]. В наиболее эффективном варианте метода —



компенсированном с разделением фрагментов — она сводится к следующему.

1. Кодируемое изображение  $I_0$  разбивается на компоненты  $I_1$ ,  $I_2$  и  $I_3$ , содержащие его «прореженные» отсчеты:  $I_k = \{x_{2k_i, 2k_j}\}$ ,  $k = 1, 2, 3$ ;  $i, j = 1, 2, \dots$

2. Формируется разностная компонента  $I_2 - I_3$  с отсчетами  $y_{4i, 4j}^{(2)}$ . Необходимые для этой цели промежуточные отсчеты  $\tilde{x}_{4i, 4j}^{(2)}$  (при нечетных  $i$  и (или)  $j$ ) компоненты  $I_3$  определяются путем билинейной интерполяции по известным соседним отсчетам этой компоненты (см. [8]). Билинейная интерполяция на практике сводится к вычислению полу сумм пар отсчетов или четвертей сумм четверок отсчетов, окружающих промежуточные отсчеты.

3. Отсчеты компоненты  $I_2 - I_3$  квантуются на  $m_2$  уровней.

4. Результаты квантования, а также значения отсчетов  $x_{8i, 8j}$  компоненты  $I_3$  кодируются, а затем записываются в ЗУ с целью хранения или передаются по каналу связи.

5. По квантованным значениям отсчетов компоненты  $I_2 - I_3$  путем билинейной интерполяции и суммирования с отсчетами компоненты  $I_3$  восстанавливаются значения отсчетов  $\tilde{x}_{4i, 4j}^{(2)}$  компоненты  $I_2$ .

6. Методом, аналогичным описанному в п. 2, формируется разностная компонента  $I_1 - \tilde{I}_2$  с отсчетами  $y_{2i, 2j}^{(1)}$ . Ее отсчеты квантуются на  $m_1$  уровняй; результаты квантования кодируются, а затем записываются в ЗУ или передаются по каналу связи.

7. Способом, описанным в п. 5, восстанавливаются значения компоненты  $\tilde{I}_1$ .

8. Формируется разностная компонента  $I_0 - \tilde{I}_1$  с отсчетами  $y_{i, j}^{(0)}$ .

9. Отсчеты  $y_{i, j}^{(0)}$  квантуются на  $m_0 = 2$  уровня в пределах «шумных» областей размером  $4 \times 4$  отсчета (т. е. областей, в которых средний модуль значений  $y^{(0)}$  превышает порог  $s^*$  (см. [8])); внутри «гладких» областей (где средний модуль  $y^{(0)}$  не превышает  $s^*$ ) квантованные значения отсчетов принимаются равными нулю.

10. Результаты квантования компоненты кодируются, после чего записываются в ЗУ или передаются по каналу связи вместе с дополнительной информацией о «гладкости» или «шумности» областей.

11. По считанным из ЗУ или поступившим из канала кодам восстанавливаются отсчеты  $\bar{y}^{(0)}$ ,  $\bar{y}^{(1)}$  и  $\bar{y}^{(2)}$  разностных компонент, а также отсчеты  $x_{8i, 8j}$  компоненты  $I_3$  и информация о свойствах областей. Затем путем билинейной интерполяции и суммирования последовательно определяются отсчеты компонент  $\tilde{I}_2$  (см. п. 5) и  $\tilde{I}_1$  (см. п. 7) и, наконец, изображения  $\tilde{I}_0$ .

Средняя длина кодовых комбинаций для описанного алгоритма кодирования составляет (при квантовании изображения  $I_0$  и его компонент на 256 уровняй, выборе  $m_0 = 2$  и затратах 1/16 бит на передачу информации о свойствах областей) [1]

$$N_{\text{ср}} = \frac{3}{16} \log_2 m_1 + \frac{3}{64} \log_2 m_2 + \frac{15}{16}. \quad (1)$$

Проведенная в [2] оптимизация позволила построить квазиоптимальную процедуру выбора  $m_1$  и  $m_2$ , обеспечивающую достижение близкой к минимуму среднеквадратичной погрешности восстановления  $\sigma$  при заданном значении  $N_{\text{ср}}$ . Применение этой процедуры для ряда тестовых изображений показало, что в широком диапазоне сюжетов квазиоптимальным является выбор  $m_1 = 5$  и  $m_2 = 15$  (в силу естественного желания точно передавать наиболее часто встречающиеся нулевые значения отсчетов компонент  $m_1$  и  $m_2$  должны быть нечетными), при этом  $N_{\text{ср}}$  составляет 1,55 бит/отсчет.

Возможности метода преобразования компонент с интерполяцией по отсчетам не ограничиваются кодированием полутоновых изображений; весьма перспективным представляется применение этого метода

для сокращения избыточности цветных изображений (например, для него своими цветовыми составляющими («красной»  $R_0$ , «зеленой»  $G_0$  и «синей»  $B_0$ ), обычно прежде всего переходят к его представлению яркостной  $Y_0$  и цветоразностными ( $(R - Y)_0$  и  $(B - Y)_0$ ) составляющими. Цветоразностные составляющие несут в основном информацию об изменениях цвета и могут быть дискретизованы более грубо, чем цветовые или яркостная составляющие.

Поскольку при применении метода преобразования компонент величины  $I_1$ ,  $I_2$  и  $I_3$  соответствуют все более грубым вариантам дискретизации исходного изображения  $I_0$ , этот метод может быть использован для кодирования яркостной и цветоразностных составляющих цветного изображения следующим образом:

1) яркостная составляющая  $Y_0$  кодируется описанным выше способом путем разбиения на компоненты  $Y_1$ ,  $Y_2$  и  $Y_3$ ;

2) каждая из цветоразностных составляющих  $(R - Y)_0$  и  $(B - Y)_0$  кодируется по пп. 1–7 алгоритма преобразования компонент; при этом используются только компоненты  $(R - Y)_1$ ,  $(R - Y)_2$ ,  $(R - Y)_3$ ,  $(B - Y)_1$ ,  $(B - Y)_2$  и  $(B - Y)_3$ , но не собственно составляющие  $(R - Y)_0$  и  $(B - Y)_0$ ;

3) в канал связи передаются или записываются в ЗУ коды квантованных на  $m_0^{(Y)} = 2$ ,  $m_1^{(Y)}$  и  $m_2^{(Y)}$  уровней отсчетов разностных компонент  $\overline{Y_0 - Y_1}$ ,  $\overline{Y_1 - Y_2}$  и  $\overline{Y_2 - Y_3}$ , информация о «гладкости» областей, а также коды квантованных на  $m_1^{(R-Y)}$ ,  $m_2^{(R-Y)}$ ,  $m_1^{(B-Y)}$  и  $m_2^{(B-Y)}$  уровней отсчетов разностных компонент  $\overline{(R - Y)_1 - (R - Y)_2}$ ,  $\overline{(R - Y)_2 - (R - Y)_3}$ ,  $\overline{(B - Y)_1 - (B - Y)_2}$  и  $\overline{(B - Y)_2 - (B - Y)_3}$  и опорные отсчеты компонент  $Y_3$ ,  $(R - Y)_3$  и  $(B - Y)_3$ ;

4) в результате восстановления поступающих из ЗУ или канала связи отсчетов компонент способом, описанным выше, в пп. 5, 7 и 11 алгоритма преобразования компонент, формируются яркостная составляющая  $\overline{Y_0}$  и «прореженные» (т. е. более грубо дискретизованные) цветоразностные составляющие  $\overline{(R - Y)_1}$  и  $\overline{(B - Y)_1}$ . Промежуточные отсчеты исходных цветоразностных составляющих  $(R - Y)_0$  и  $(B - Y)_0$  (необходимые для обратного перехода к цветовым составляющим  $R_0$ ,  $G_0$  и  $B_0$ ) определяются путем билинейной интерполяции по отсчетам компонент  $\overline{(R - Y)_1}$  и  $\overline{(B - Y)_1}$ .

В рамках описанного способа сжатия цветных изображений средняя длина кодовых комбинаций, необходимая для описания каждой из цветоразностных составляющих, определяется формулой

$$N_{\text{ср.цветор}} = \frac{3}{16} \log_2 m_1^{\text{цветор}} + \frac{3}{64} \log_2 m_2^{\text{цветор}} + \frac{1}{8}, \quad (2)$$

аналогичной формуле (1). Количество уровней квантования компонент яркостной составляющей, по смыслу эквивалентной черно-белому варианту рассматриваемого цветного изображения, целесообразно выбирать таким же, как для черно-белых изображений (т. е.  $m_1^{(Y)} = 5$  и  $m_2^{(Y)} = 15$ ). При этом затраты на кодирование яркостной составляющей, определяемые формулой (1), составляют  $N_{\text{ср.ярк}} = 1,55$  бит/отсчет и суммарные затраты для всего цветного изображения описываются выражением

$$N_{\text{ср.цв}} = \frac{3}{16} (\log_2 m_1^{(R-Y)} + \log_2 m_1^{(B-Y)}) + \frac{3}{64} (\log_2 m_2^{(R-Y)} + \log_2 m_2^{(B-Y)}) + 1,80. \quad (3)$$

Хотя в принципе можно решить задачу оптимального распределения затрат по всем четырем используемым компонентам, на практике с целью упрощения вычислений позволительно с учетом симметрии задачи отводить на каждую из цветоразностных составляющих однапаковую долю общих затрат  $N_{\text{ср. цв}}$ . При этом минимальная среднеквадратичная

где  $E_1^{(R-Y)}$ ,  $E_1^{(B-Y)}$ ,  $E_2^{(R-Y)}$  и  $E_2^{(B-Y)}$  — оценки погрешности квантования по формуле Пантера и Дайта [4]:

$$E_h^{(\cdot)} = \left( \int_{-\infty}^{\infty} (f_h^{(\cdot)}(y))^{1/3} dy \right)^3, \quad (5)$$

$f_h^{(\cdot)}(y)$  — плотность распределения значений отсчетов соответствующей компоненты составляющей  $(R - Y)_0$  или  $(B - Y)_0$ ;  $C = 2^{\frac{32}{3}(N_{\text{ср. цв}} - 1.80)}$ . Как и при кодировании черно-белых изображений, получаемые значения  $m_1^{(R-Y)}$  и  $m_1^{(B-Y)}$  следует округлять в сторону уменьшения до ближайшего нечетного числа, а затем находить  $m_2^{(R-Y)}$  и  $m_2^{(B-Y)}$  из формулы (3).

С целью количественной оценки зависимости среднеквадратичной погрешности восстановления цветоразностных составляющих от  $N_{\text{ср. цв}}$  и определения оптимальных значений  $m$  для различных  $N_{\text{ср. цв}}$  было проведено моделирование описанного выше метода кодирования. При моделировании использовались четыре тестовых цветных изображения — натуральный сюжет «Кремль» (а), портрет «Девочка» (б), сюжет среднего плана «Барабашники» (в) и пейзажный сюжет «Дом» (г); яркостные составляющие указанных изображений показаны на рисунке. Каждое изображение было представлено в виде трех матриц по  $512 \times 512$  отсчетов, соответствующих его «красной», «зеленой» и «синей» составляющим. Отсчеты квантovались на 256 уровней и вводились в ЭВМ с помощью сканирующего микроденситометра, снабженного необходимыми цветными фильтрами.

После ввода в ЭВМ формировались яркостные  $Y_0 = 0.3R_0 + 0.59G_0 + 0.11B_0$  и цветоразностные  $(R - Y)_0 = (R_0 - Y_0)/1.4 + 128$  и  $(B - Y)_0 = (B_0 - Y_0)/1.78 + 128$  составляющие изображений (умножение на 1/1,4 и 1/1,78, а также добавление константы 128 обеспечивало совпадение диапазона возможного изменения цветоразностных составляющих с диапазоном (0, 255) изменения яркостной составляющей). Затем для цветоразностных компонент находились плотности распределения  $f_h^{(\cdot)}$  и по формуле (5) определялись значения  $E_h^{(\cdot)}$ . Эти значения использовались для определения оптимальных  $m_1^{(R-Y)}$ ,  $m_2^{(R-Y)}$ ,  $m_1^{(B-Y)}$  и  $m_2^{(B-Y)}$  для различных  $N_{\text{ср. цв}}$ .

Результаты моделирования сведены в табл. 1. Для каждого значения  $N_{\text{ср. цв}}$  в этой таблице приведены как оптимальные значения  $m$ , так и теоретические значения среднеквадратичной погрешности  $\sigma_{(\cdot)}$  восстановления цветоразностных составляющих  $(R - Y)_1$  и  $(B - Y)_1$ . Эти значения вычислялись по формуле

$$\sigma_{(\cdot)}^2 = \frac{1}{16} \left( \frac{E_1^{(\cdot)}}{4m_1^{(\cdot)}} + \frac{E_2^{(\cdot)}}{16m_2^{(\cdot)}} \right). \quad (6)$$

Из табл. 1 видно, что при заданном  $N_{\text{ср. цв}}$  значения  $m_1^{(\cdot)}$  и  $m_2^{(\cdot)}$  не зависят от выбора сюжета и от «цвета» составляющей; это позволяет выбрать единые для обеих составляющих значения  $m_1$  и  $m_2$ , оптималь-



ные для кодирования сюжетов различных типов. Поскольку значения  $\sigma(\cdot)$  остаются малыми (1—2,5 уровня квантования) вплоть до значений  $m_1 = 3$ ,  $m_2 = 5$ , именно эти значения целесообразно зафиксировать для квантования компонент цветоразностных составляющих. Подстановка их в формулу (3) дает для средней длины кодовых комбинаций величину  $N_{\text{ср. цв}} = 2,62$  бит/отсчет, что соответствует сжатию в 9,2 раза исходной 24-разрядной кодовой последовательности.

После определения оптимальных значений  $m_1$  и  $m_2$  цветные изображения (см. рисунок) были подвергнуты описанной выше процедуре кодирования с преобразованием компонент. Для всех компонент каждой из составляющих определялись гистограммы распределения значений  $f_k(\cdot)$ , а затем по формулам Макса [5] выбирались уровни квантования и границы интервалов квантования, обеспечивающие минимальную среднеквадратичную погрешность. Далее выполнялось собственно кодирование, результаты которого соответствовали средней длине кодовых комбинаций 2,62 бит/отсчет. По полученным кодовым последовательностям были восстановлены вначале яркостная  $\bar{Y}_0$  и цветоразностные  $(\bar{R} - \bar{Y})_1$  и  $(\bar{B} - \bar{Y})_1$  составляющие исходных изображений, а затем и их цветовые составляющие  $\bar{R}_0$ ,  $\bar{G}_0$  и  $\bar{B}_0$ . Для количественной оценки результатов восстановления определялись фактические значения среднеквадратичной погрешности восстановления цветовых и цветоразностных составляющих. Эти значения сведены в табл. 2 (отметим, что погрешности восстановления цветоразностных составляющих соответствуют их дискретизации на  $512 \times 512$  отсчетов, причем промежуточные отсчеты восстанавливаются путем билинейной интерполяции; этим и объясняется увеличение погрешностей по сравнению с приведенными в табл. 1 теоретическими значениями). При вычислениях не учитывались имеющиеся на изобра-

Таблица 1

Значения  $E_k^{(\cdot)}$  и  $m_k^{(\cdot)}$  для цветоразностных составляющих изображений рисунка при различной средней длине кодовых комбинаций  $N_{\text{ср. цв}}$

Сюжет	$E_1^{(R-Y)}$	$E_2^{(R-Y)}$	$E_1^{(B-Y)}$	$E_2^{(B-Y)}$	$N_{\text{ср. цв, бит/отсчет}}$	$m_1^{(R-Y)}$	$m_2^{(R-Y)}$	$m_1^{(B-Y)}$	$m_2^{(B-Y)}$	$\sigma_{R-Y}$	$\sigma_{B-Y}$
«Кремль»	612,368	772,736	604,995	776,380	2,55	1	255	1	255	3,4	3,1
					2,65	3	5	3	5	1,4	1,4
					2,75	3	13	3	13	1,0	1,0
					2,85	3	29	3	29	4,0	4,0
					2,95	5	7	5	7	0,7	0,7
					3,05	5	15	5	15	0,6	0,6
«Девочка»	1095,13	2353,07	1182,97	1950,79	2,55	1	255	1	255	4,1	4,3
					2,65	3	5	3	5	1,5	1,5
					2,75	3	13	3	13	1,4	1,4
					2,85	3	29	3	29	1,4	1,4
					2,95	5	7	5	7	0,9	0,9
					3,05	5	15	5	15	0,9	0,9
«Барабанщики»	1293,69	2947,82	1205,80	2284,75	2,55	1	255	1	255	4,5	4,3
					2,65	3	5	3	5	1,6	1,6
					2,75	3	13	3	13	1,5	1,5
					2,85	3	29	3	29	1,5	1,5
					2,95	5	7	5	7	1,0	1,0
					3,05	5	15	5	15	0,9	0,9
«Дом»	3076,35	4923,51	1507,83	1853,05	2,55	1	255	1	255	6,9	4,9
					2,65	3	5	3	5	2,5	4,7
					2,75	3	13	3	13	2,3	1,6
					2,85	3	29	3	29	2,3	1,6
					2,95	5	7	5	7	1,5	1,0
					3,05	5	15	5	15	1,4	1,0

жениях черные поля. Поскольку значения погрешности определяют лишь качество восстановления отдельных компонент, то не правильность цветопередачи, для каждого из изображений было найдено также среднее цветовое расстояние  $\Delta D_{\text{ср}}$  между отсчетами исходного изображения и изображения, подвергнутого кодированию. Для каждого из отсчетов цветовое расстояние  $\Delta D$  определялось по формулам, рекомендованным МКО в 1964 г. [6]:

$$\Delta D = \sqrt{(\Delta U^*)^2 + (\Delta V^*)^2 + (\Delta W^*)^2}, \quad (7)$$

где  $W^* = \begin{cases} 25Y^{1/3} - 17 & \text{при } 1 \leqslant KY_0 = Y \leqslant 100; \\ 0 & \text{при } Y < 1; \end{cases} \quad (8)$

$$U^* = 13W^*(u - u_0); \quad (9)$$

$$V^* = 13W^*(v - v_0); \quad (10)$$

$$u = \frac{0,98R_0 + 0,62G_0 + 0,4B_0}{1,57253R_0 + 6,26288G_0 + 1,66459B_0}; \quad (11)$$

$$v = \frac{0,531R_0 + 2,43714G_0 + 0,03186B_0}{1,57253R_0 + 6,26288G_0 + 1,66459B_0}; \quad (12)$$

$u_0 = 0,21053$  и  $v_0 = 0,31579$  — координаты белого цвета на равноконтрастной диаграмме МКО;  $K$  — постоянный коэффициент (100/255 при квантовании цветовых составляющих на 256 уровнях). Значения  $\Delta D_{\text{ср}}$  для различных сюжетов приведены в табл. 3. Предварительная субъективная оценка визуального качества восстановленных цветных изображений

Таблица 2

Погрешности восстановления составляющих изображений рисунка, достигаемые при  $N_{\text{ср. цв.}} = 2,62$  бит/отсчет

Сюжет	Погрешности восстановления, в уровнях квантования исходного изображения					
	$\sigma_Y$	$\sigma_{R-Y}$	$\sigma_{B-Y}$	$\sigma_R$	$\sigma_G$	$\sigma_B$
«Кремль»	13,0	2,8	2,9	10,9	10,7	9,8
«Девочка»	5,2	4,9	4,6	8,1	6,8	9,2
«Барабанщики»	6,2	4,9	4,7	8,6	7,6	9,9
«Дом»	9,2	5,8	5,0	10,7	10,8	13,1

Таблица 3

Средние цветовые расстояния между исходными и восстановленными изображениями рисунка при  $N_{\text{ср. цв.}} = 2,62$  бит/отсчет

Сюжет	$\Delta D_{\text{ср}}$
«Кремль»	5,7
«Девочка»	14,2
«Барабанщики»	10,7
«Дом»	12,4

жений, воспроизводимых на экране цветного телевизионного монитора, показала их практическую неотличимость от исходных 24-разрядных изображений.

Анализ данных, приведенных в табл. 2 и 3, а также результатов визуальной оценки качества восстановления позволяет сделать следующие выводы.

Погрешность восстановления яркостной и цветоразностных составляющих (3–13 уровней квантования) находится в тех же пределах, что и погрешность восстановления черно-белых изображений, закодированных методом преобразования компонент. Значение погрешности возрастает с увеличением степени детальности составляющих. Так, для высокодетального, но бедного в цветовом отношении сюжета «Кремль» погрешность восстановления яркостной составляющей  $\sigma_y$  получается значительной (13 уровней), а погрешности восстановления цветоразностных компонент  $\sigma_{R-Y}$  и  $\sigma_{B-Y}$  — гораздо меньшими (2,8 уровня). Напротив, для менее детальных, но содержащих более насыщенные и контрастные цвета сюжетов «Девочка» и «Барабанщики» величина  $\sigma_y$  оказывается небольшой (5,2 и 6,2 уровня соответственно), а значения  $\sigma_{R-Y}$  и  $\sigma_{B-Y}$  возрастают почти в 2 раза по сравнению с сюжетом «Кремль». Наибольшие значения погрешностей возникают при работе с высокодетальным и многоцветным сюжетом «Дом».

При переходе от яркостной и цветоразностной составляющих к цветовым составляющим погрешности более или менее равномерно перераспределяются между всеми тремя цветовыми составляющими и оказываются почти одинаковыми для всех четырех сюжетов.

Цветовое расстояние  $\Delta D_{\text{ср}}$  между исходными и восстановленными изображениями мало зависит от степени детальности яркостных составляющих и определяется в основном правильностью воспроизведения цветов. Максимальное значение  $\Delta D_{\text{ср}}$  достигается для наиболее богатого в смысле цвета сюжета «Девочка», а минимальное — для очень детального, но имеющего малую цветовую насыщенность сюжета «Кремль».

Небольшие значения среднеквадратичных погрешностей и цветового расстояния и весьма хорошие результаты визуального сравнения изображений свидетельствуют о том, что метод преобразования компонент с интерполяцией по отсчетам может быть с успехом использован для сокращения избыточности цветных изображений, а также о разумности распределения уровней квантования по компонентам.

В заключение следует обратить внимание на то, что предложенный метод кодирования допускает относительно простую аппаратурную реализацию, сходную с описанной в [7] для одного из вариантов кодирования черно-белых изображений с преобразованием компонент. Кроме того, он, по-видимому, должен обладать высокой помехоустойчивостью.

Данные, подлежащие передаче, могут быть подвергнуты статистическому кодированию; это приведет к дальнейшему сокращению средней длины кодовых комбинаций. Указанные соображения подтверждают широкие возможности применения метода преобразования компонент в системах цветного телевидения и других системах передачи цветных изображений по каналам связи.

#### ЛИТЕРАТУРА

1. Бокштейн И. М. Билинейная интерполяция при сокращении описания неподвижных полутоновых изображений // Тр. НИИР.— 1980.— № 3.
2. Бокштейн И. М. Статистическая оценка возможностей метода преобразования компонент с интерполяцией по отсчетам // Шестой междунар. симп. по теории информации: Тез. докл.— Москва; Ташкент: АН СССР, АН УзССР, 1984.— Ч. 2.
3. Певзнер Б. М. Системы цветного телевидения.— Л.: Энергия, 1969.
4. Panther R. F., Dite W. Quantizing distortion in pulse count modulation // Proc. of the IRE.— 1951.— V. 39, N 1.— P. 44.
5. Max Y. Quantizing for minimum distortion // IRE Trans. on Inform. Theory.— 1960.— V. IT-6, N 3.— P. 7.
6. Wyszecki G. Proposal for a new color-difference formula // JOSA.— 1963.— V. 53, N 11.— P. 1318.
7. Бокштейн И. М. Аппаратурная реализация системы эффективного кодирования изображений, использующей метод преобразования компонент с интерполяцией по отсчетам // Методы и микроэлектронные средства цифрового преобразования и обработки сигналов: Тез. докл. конф. II.— Рига: ИЭиВТ АН ЛатвССР, 1983.
8. Бокштейн И. М. Метод преобразования компонент и его предельные возможности // Кодирование и обработка изображений.— М.: Наука, 1988.

Поступила в редакцию 21 января 1987 г.

---